

Рис. 2. Функция отклика при совместном учете накопления и тепловой инерционности. Расчет по (19) проведен при $k = 0,5$, $r/k = 0,2$, $\gamma_M = 1$, $1 - \gamma_{VM}/\gamma_{MV} = 2$, $k_M \gamma/\gamma_M = -k = -1$, $t_n/t_n = 100$.

хотя аналогичные зависимости без учета накопления (см. [5] при $k < 1$) и тепловой инерционности (см. рис. 1) монотонны. Все изложенное справедливо, если есть однозначная связь $T_s = T_s(m)$.

ЛИТЕРАТУРА

1. Gany A., Caveny L. H. // 17th Symp. (Intern.) on Combustion.— Pittsburgh, 1978.
2. Бабук В. А., Белов В. П., Ходосов В. В. и др. ФГВ, 1985, 21, 3, 20.
3. Зырянов В. Я. // Горение конденсированных систем.— Черноголовка, 1986.
4. Зельдович Я. Б. ЖЭТФ, 1942, 12, 498.
5. Новожилов Б. В. Нестационарное горение твердых ракетных топлив — М.: Наука, 1973.

Поступила в редакцию 19/V 1988,
после доработки — 14/VII 1988

УДК 536.46

НЕСТАЦИОНАРНОЕ ГОРЕНИЕ ПРИ ПОДПОВЕРХНОСТНОЙ ГАЗИФИКАЦИИ ЛЕТУЧИХ

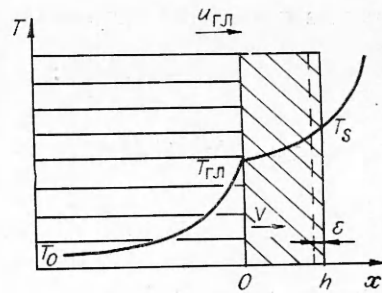
В. Н. Бухаров, Л. К. Гусаченко
(Новосибирск)

В [1] описаны опыты по горению пороха Н при низком давлении. Обнаруженная пористая структура части прогретого слоя убедительно объясняется пространственным разделением зон газификации нитроглицерина и нитроклетчатки. Подобная ситуация возможна и для смесового состава, если в нем более летучий наполнитель помещен в термостойкое связующее. Квазигомогенное описание процесса при этом возможно, если наибольший размер d гетерогенности в ж-фазе (размер зерна наполнителя) значительно меньше минимального размера, фигурирующего в квазигомогенной постановке, а именно: толщины пористого слоя h .

Нестационарный эффект, появляющийся в результате учета подповерхностной газификации летучего компонента, состоит в том, что при флуктуации в прогретом слое или при изменении внешних условий (давления p , начальной температуры T_0 , интенсивности обдува) в общем случае по-разному меняются скорости распространения поверхностей газификации легко- и труднолетучего компонентов $u_{гд}$, u . Это ведет к переменности во времени состава газовой фазы над поверхностью горения, а значит, и к переменности полной объемной скорости газообразования (особенно если летучий компонент — окислитель).

Постановка задачи, близкая к изложенной, использована в [2], где приближенное нестационарное решение получено для конкретной кинетики в зонах реакций. Если процессы в зонах реакций неизвестны, следует использовать «феноменологический» подход Зельдовича — Новожилова.

Рис. 1. Схема области горения твердого топлива с подповерхностной газификацией.



По аналогии с [3] получим выражение для нестационарной линейной скорости горения труднолетучего компонента

$$u = u_n(p, \varphi, \alpha) \quad (1)$$

с использованием «стационарной» зависимости

$$u = u^0(p, T_0, \alpha^0), \quad (2)$$

найденной из опытов для семейства составов с различной массовой долей α^0 летучего компонента в твердом веществе. В (1) $\varphi = \frac{\partial T}{\partial x}(h - \varepsilon, t)$ (рис. 1); ε — расстояние от поверхности горения в глубь к-фазы, дальше которого можно пренебречь реакциями в к-фазе; $\varepsilon \ll h$; α — доля летучего компонента в общем массовом потоке газа

$$\alpha = u_{г,л} \alpha^0 / [u_{г,л} \alpha^0 + u(1 - \alpha^0)]. \quad (3)$$

В стационарном случае $u_{г,л} = u = u^0$, $\alpha = \alpha^0$ и имеет место баланс тепловых потоков при $x = h - \varepsilon$

$$\lambda_+ \varphi^0 = \rho_r u^0(p, T_0, \alpha^0) [c(T_s(u^0) - T_0) - \alpha^0 Q]. \quad (4)$$

Здесь λ_+ — теплопроводность при $x = h - \varepsilon$; $T_s(u^0)$ — «единая зависимость», согласно [4]; Q — тепловой эффект газификации летучих; c — теплоемкость; ρ_r — плотность топлива.

Выражение (1) получено в предположении, что в любой момент времени скорость u определяется практически безынерционными процессами, протекающими при $x > h - \varepsilon$ и зависящими от внешних и граничных условий, а именно: от величин p, φ, α . Использование (3) означает пренебрежение временем движения газа по порам на участке $0 < x < h$ и характерным временем диффузии на этом пути. Эти времена одного порядка с характерным временем газовой фазы при $x > h$, которые в настоящей постановке пренебрегаем по сравнению с характерным временем к-фазы. Тогда для состава с параметрами T_0, α^0 в нестационарных условиях, обеспечивших некое значение φ и $\alpha \neq \alpha^0$, величина u совпадает со стационарной скоростью горения другого состава, в котором доля летучих в к-фазе равна α , а начальная температура такова, что вычисленный по (4) стационарный градиент равен φ :

$$u = u_n(p, \varphi, \alpha) = u^0[p, T_0(p, \varphi, \alpha), \alpha], \quad (5)$$

$T_0(p, \varphi, \alpha)$ есть корень уравнения (4) при $\alpha^0 = \alpha$. Таким образом, как и в [3], задача нахождения нестационарной скорости горения свелась к необходимости определения φ из тепловой задачи. При этом необходимая для расчета объемной скорости газообразования температура T_F пламени и в нестационарном режиме соответствует эмпирической зависимости $T_F = T_F(\alpha)$, полученной в стационарных условиях.

При математическом описании полагаем, что для всего семейства составов с различными α^0 существует единая зависимость $T_s(u)$. Газификация летучих всегда, в том числе и в нестационарном режиме горения твердого топлива, происходит скачком при $T = T_{г,л} = \text{const}$ с тепловым эффектом Q (кал/г). Благодаря большой удельной поверхности S (см²/см³) каркаса, оставшегося после газификации летучих, теплообмен в нем эффективен и относительная разность температур газа и каркаса мала всюду в пористой области $0 < x < h$, $(T_g - T_k)/T_k \ll 1$. Теплоемкости исходного топлива, каркаса и газа в нем полагаем одинаковыми. Все эти допущения не принципиальны для возможности использования аналога феноменологической модели и сделаны для простоты описания.

В системе координат, связанной с поверхностью газификации летучих (см. рис. 1), уравнения теплопроводности для сплошного ТТ, для

каркаса и протекающего сквозь него газа имеют вид

$$x < 0: \quad \frac{\partial T}{\partial t} + u_{\text{гл}} \frac{\partial T}{\partial x} = \kappa_{\text{т}} \frac{\partial^2 T}{\partial x^2}, \quad (6)$$

$$0 < x < h: \quad (1 - m) c \rho_{\text{к}} \left(\frac{\partial T_{\text{к}}}{\partial t} + u_{\text{гл}} \frac{\partial T_{\text{к}}}{\partial x} \right) = (1 - m) \lambda_{\text{к}} \frac{\partial^2 T_{\text{к}}}{\partial x^2} + \Phi, \quad (7)$$

$$m c \rho_{\text{г}} \left(\frac{\partial T_{\text{г}}}{\partial t} + \bar{V}_{\text{г}} \frac{\partial T_{\text{г}}}{\partial x} \right) = m \lambda_{\text{г}} \frac{\partial^2 T_{\text{г}}}{\partial x^2} - \Phi. \quad (7')$$

Здесь $\kappa = (\lambda/c\rho)_{\text{т}}$; λ , c , ρ — теплопроводность, теплоемкость, плотность; m — пористость, не зависящая от x в соответствии с гипотезой о скачкообразном характере газификации; Φ — скорость теплообмена, имеющая порядок $\Phi \sim S(T_{\text{г}} - T_{\text{к}})$ и, вообще говоря, конечная при $S \rightarrow \infty$, $T_{\text{г}} - T_{\text{к}} \rightarrow 0$; $m(\rho V)_{\text{г}}$ — массовый поток газа в пористой области, отнесенный к 1 см^2 поверхности ТТ и не зависящий от x в соответствии с аргументированной безынерционностью движения газа в области $0 < x < h$, так что $(\rho V)_{\text{г}} = \rho_{\text{тг}} u_{\text{гл}}$; $\rho_{\text{тг}}$ — плотность летучего компонента. Очевидно, пористость слоя $0 < x < h$ равна объемной доле летучего компонента в твердом топливе, поэтому для чисто механической смеси выполняется

$$m = (\alpha^0/\rho_{\text{тг}}) / [\alpha^0/\rho_{\text{тг}} + (1 - \alpha^0)/\rho_{\text{к}}]. \quad (8)$$

Складывая (7) и (7') и полагая $\rho_{\text{г}}/\rho_{\text{к}} \ll 1$, $T_{\text{г}} \rightarrow T_{\text{к}} - T$, получим

$$0 < x < h, \quad (1 - m) c \rho_{\text{к}} \frac{\partial T}{\partial t} + c u_{\text{гл}} [\rho_{\text{к}}(1 - m) + \rho_{\text{тг}} m] \frac{\partial T}{\partial x} = \\ = [\lambda_{\text{к}}(1 - m) + \lambda_{\text{г}} m] \frac{\partial^2 T}{\partial x^2}. \quad (9)$$

Граничные условия к (6), (9) имеют вид

$$T(-\infty, t) = T_0, \quad T(-0, t) = T(+0, t) = T_{\text{гл}}, \\ \lambda_{\text{т}} \frac{\partial T}{\partial x}(-0, t) = [\lambda_{\text{к}}(1 - m) + \lambda_{\text{г}} m] \frac{\partial T}{\partial x}(+0, t) + Q \rho_{\text{т}} u_{\text{гл}} \alpha^0, \quad (10) \\ T[h(t), t] = T_s(u).$$

Для толщины пористого слоя выполняется уравнение

$$dh/dt = u_{\text{гл}} - u. \quad (11)$$

Выражения (3), (6), (9), (11) с граничными условиями (10) и соответствующими начальными условиями определяют всю нестационарную картину горения.

Стационарное распределение температур имеет вид

$$\xi < 0, \quad \Theta^0 = \exp(\xi); \quad 0 < \xi < H^0, \\ \Theta^0 = 1 + \frac{\exp(\xi L) - 1}{\exp(H^0 L) - 1} \frac{T_s^0 - T_{\text{гл}}}{T_{\text{гл}} - T_0}. \quad (12)$$

Здесь использованы обозначения

$$\Theta = \frac{T - T_0}{T_{\text{гл}} - T_0}, \quad \xi = \frac{u^0 x}{\kappa_{\text{т}}}, \quad H = \frac{u^0 h}{\kappa_{\text{т}}}, \quad L = \frac{\lambda_{\text{т}}}{\lambda_{+}}, \quad \lambda_{+} = \lambda_{\text{к}}(1 - m) + \lambda_{\text{г}} m. \quad (13)$$

Применение к (12) условия непрерывности теплового потока из (10) дает уравнение для H^0

$$1 = \frac{\Theta_s^0 - 1}{\exp(LH^0) - 1} + q, \quad (14)$$

$$\text{где } \Theta_s = \frac{T_s - T_0}{T_{\text{гл}} - T_0}; \quad q = \frac{\alpha^0 Q}{c(T_{\text{гл}} - T_0)}.$$

Исследуем по аналогии с [2] методом малых возмущений устойчивость горения при постоянном давлении. Все переменные величины представим в виде $\Theta = \Theta^0(\xi) + \delta\Theta \exp(\omega\tau)$, $u = u^0 + \delta u \exp(\omega\tau)$ и т. д. Здесь $\tau = t(u^0)^2/\kappa_T$. После линеаризации общее решение (9) с учетом стационарного распределения (12) выглядит следующим образом:

$$0 < \xi < H, \quad \delta\Theta = -\frac{\delta u_{\Gamma L}}{u} \frac{NL}{\omega} e^{L\xi} + C_1 e^{Lk_1\xi} + C_2 e^{Lk_2\xi}, \quad (15)$$

$$N = 1 + (\rho_{\Gamma L}/\rho_R) m/(1-m), \quad k_1 = (1 + \sqrt{1 + 4\omega/LN})/2, \quad k_2 = 1 - k_1.$$

Требуем выполнения решением (15) условия из (10) $\delta\Theta(0) = 0$, тогда

$$0 = -\frac{\delta u_{\Gamma L}}{u} \frac{NL}{\omega} + C_1 + C_2. \quad (16)$$

Линеаризованное условие (10) при $x = h$ с использованием «единой зависимости» типа $u \sim \exp(-E/RT_s)$ после подстановки в (15) дает

$$Le^{LH}(1-q)\delta H - \frac{NL}{\omega} e^{LH} \frac{\delta u_{\Gamma L}}{u} + C_1 e^{Lk_1 H} + C_2 e^{Lk_2 H} = \frac{RT_s^2}{E(T_{\Gamma L} - T_0)} \frac{\delta u}{u}. \quad (17)$$

Линеаризованное уравнение (6) с условиями из (10) $\delta\Theta(-\infty) = \delta\Theta(0) = 0$ имеет решение

$$\xi < 0, \quad \delta\Theta = \frac{\delta u_{\Gamma L}}{u} \frac{e^{k_3\xi} - e^{\xi}}{\omega}, \quad k_3 = \frac{1 + \sqrt{1 + 4\omega}}{2}. \quad (18)$$

Применяя условие непрерывности теплового потока при $x = 0$ из (10) к решениям (15), (18), получим

$$\frac{\delta u_{\Gamma L}}{u} \left(L \frac{LN + k_3 - 1}{\omega} - q \right) - Lk_1 C_1 - Lk_2 C_2 = 0. \quad (19)$$

Связь (11) примет вид

$$\omega\delta H = \delta u_{\Gamma L}/u - \delta u/u. \quad (20)$$

Из (1) при $p = \text{const}$ следует

$$\frac{\delta u}{u} = \frac{\partial \ln u}{\partial \ln \varphi} \frac{\delta \varphi}{\varphi} + \frac{\partial \ln u}{\partial \alpha} \delta \alpha. \quad (21)$$

Используя (2), (4) и $u \sim \exp(-E/RT_s)$, можно вывести выражения

$$\frac{\partial \ln u}{\partial \ln \varphi} = \frac{-k(1 - q/\Theta_s)}{1 - r - k(1 - q/\Theta_s)}, \quad \frac{\partial \ln u}{\partial \alpha} = \frac{\partial \ln u^0/\partial \alpha - kq/\Theta_s}{1 - r - k(1 - q/\Theta_s)},$$

где $k = (T_s - T_0) \partial \ln u^0/\partial T_s$; $r = \partial T_s^0/\partial T_0 = (RT_s^2/E) \partial \ln u^0/\partial T_0$.

Из (3), (11) следует

$$\delta \alpha = \alpha(1 - \alpha) \omega \delta H. \quad (22)$$

Наконец, еще одно соотношение получается из условия $T(h(t), t) = T_s(u)$

$$\frac{\delta \varphi}{\varphi} = \left(\delta H \frac{d^2 \Theta}{d\xi^2}(H) + \frac{d\delta\Theta}{d\xi}(H) \right) \frac{\partial \Theta}{\partial \xi}(H).$$

С учетом (12), (15) это уравнение примет вид

$$\frac{\delta \varphi}{\varphi} = L\delta H - \frac{\delta u_{\Gamma L}}{u} \frac{LN}{\omega} \frac{1}{1-q} + (k_1 C_1 e^{-Lk_2 H} + k_2 C_2 e^{-Lk_1 H})/(1-q). \quad (23)$$

Таким образом, для неизвестных C_1 , C_2 , $\delta u_{\Gamma L}/u$, $\delta u/u$, δH , $\delta \alpha$, $\delta \varphi/\varphi$ имеем однородные уравнения (16), (17), (19)–(23). Приведем для этой системы таблицу коэффициентов при этих неизвестных. В таблице k_1 , k_2 , k_3 зависят от ω , согласно (15), (18). Полагая $\omega = is$ (s — вещественная частота колебаний) и приравнивая к нулю определитель, можно получить условие на границе устойчивости к малым возмущениям. На рис. 2 эта граница изображена в координатах k , r при $c = 0,3$ кал/(г·град),

C_1	C_2	$\frac{\delta u_{гз}}{u}$	$\frac{\delta u}{u}$	δH	$\delta \alpha$	$\frac{\delta \varphi}{\varphi}$
1	1	$-LN/\omega$	0	0	0	0
e^{-Lk_2H}	e^{-Lk_1H}	$-LN/\omega$	$-\frac{r\Theta_s}{k}e^{-LH}$	$\frac{L}{1-q}$	0	0
k_1	k_2	$\frac{q}{L} \frac{LN+k_3-1}{\omega}$	0	0	0	0
0	0	1	-1	ω	0	0
0	0	0	1	0	$\frac{\partial \ln u}{\partial \alpha}$	$-\frac{\partial \ln u}{\partial \ln \varphi}$
0	0	0	0	$\alpha(1-\alpha)\omega$	-1	0
$k_1e^{-Lk_2H}$	$k_2e^{-Lk_1H}$	$-LN/\omega$	0	$L(1-q)$	0	$q-1$

$\partial \ln u^0/\partial \alpha = 0,5$, $T_0 = 20^\circ\text{C}$, $T_{гз} = 220^\circ\text{C}$, $T_s = 270^\circ\text{C}$, $\alpha = 0,1$, $Q = 50$ кал/г. Там же изображена взятая из [3] граница устойчивости при $p = \text{const}$ для состава без подповерхностной газификации.

Следует иметь в виду, что по рис. 2 нельзя делать даже качественных выводов о стабилизирующем или дестабилизирующем влиянии подповерхностной газификации при горении в камере. В частности, если $\partial u/\partial \alpha = 0$ (например, когда ведущая стадия в к-фазе), от меняющейся $\alpha(t)$ может существенно зависеть $T_F(\alpha)$, а значит, и важная для устойчивости процесса горения в камере объемная скорость газообразования. Если квазистационарная зависимость $T_F(\alpha)$ известна, важнейшим элементом исследования низкочастотной устойчивости РДТТ к малым возмущениям становится нахождение функции отклика α по давлению

$$f_\alpha = \frac{\delta \alpha}{\delta p/p}.$$

При $p = p^0 + \delta p \exp(\omega t)$ в рассмотренной выше системе изменится только уравнение (21), а именно: в нем добавится член

$$\frac{\partial \ln u}{\partial \ln p} \frac{\delta p}{p}.$$

Используя (2), (4) и $u \sim \exp(-E/RT_s)$, можно получить

$$\frac{\partial \ln u}{\partial \ln p} = \frac{v}{1-r-k(1-q/\Theta_s)}, \quad v = \frac{\partial \ln u^0}{\partial \ln p}.$$

Если считать δp заданным, система (24) становится неоднородной, и интересующая нас функция $f_\alpha(\omega)$ найдется как

$$f_\alpha(\omega) = \frac{\delta \alpha}{\delta p/p} = \frac{\Delta_1}{\Delta}.$$

Здесь Δ — определитель (24); Δ_1 — тот же определитель с измененным шестым столбцом: вместо $\left(-\frac{\partial \ln u}{\partial \alpha}\right)$ следует поставить $\left(+\frac{\partial \ln u}{\partial \ln p}\right)$, а вместо (-1) — нуль.

Таким образом, в квазигомогенном приближении рассмотрено нестационарное горение состава с подповерхностной газификацией

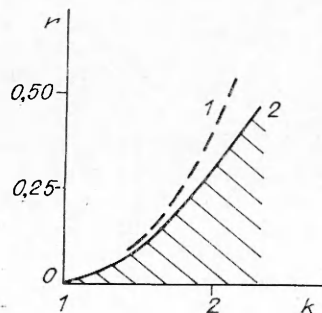


Рис. 2. Граница устойчивости горения твердого топлива при постоянном давлении.

1 — состав с подповерхностной газификацией; 2 — состав без подповерхностной газификации [3].

летучих. Предпринята попытка расширения на такие системы феноменологической модели Зельдовича — Новожилова для нестационарного горения твердого топлива. Приведена система уравнений, описывающих процесс горения с подповерхностной газификацией.

ЛИТЕРАТУРА

1. Зарко В. Е., Зырянов В. Я., Куценогий К. П. *Archivum combustionis*, 1984, 4, 2.
2. Булдаков В. Ф., Романов О. Я., Шелухин Г. Г. *Физика аэродисперсных систем*, 1973, 8.
3. Новожилов Б. В. *Нестационарное горение твердых ракетных топлив*.— М.: Наука, 1973.
4. Зенин А. А. // *Физические процессы при горении и взрыве*.— М.: Атомиздат, 1980.

Поступила в редакцию 15/V 1988

УДК 536.46

ПРЕДЕЛЬНЫЕ УСЛОВИЯ ГАЗОФАЗНОГО ГОРЕНИЯ ПОЛИМЕРНЫХ МАТЕРИАЛОВ ПРИ ВИБРАЦИИ

*В. И. Калинин, В. И. Потякин, А. С. Мелихов,
Ю. С. Масловский, С. А. Пахомов
(Балашиха)*

Циклические массовые перегрузки — один из тех эксплуатационных факторов, которые с наибольшей вероятностью могут привести к появлению неисправностей в электросистемах различного назначения и к возникновению процесса горения. При вибрации перегрузки достигают нескольких десятков g_0 ($g_0 = 9,8 \text{ м/с}^2$), а диапазон частот обычно лежит в пределах от $1,5$ до $2 \cdot 10^3$ Гц.

В работе [1] исследовалось влияние перегрузок на предел горения по концентрации кислорода для полимерных материалов, установлено, что при $g > 1$ его значение возрастает. Известно также, что колебания газовой среды в определенном диапазоне частот интенсифицируют процесс пламенного горения [2]. Однако влияние вибрации на горение системы твердый материал — пламя практически не изучалось. В данной работе приведены некоторые результаты, полученные при исследовании указанной проблемы.

Эксперименты проводились при атмосферном давлении и объемной концентрации кислорода от 18 до 25 %. Установка состояла из металлического сосуда ($90 \times 90 \times 450$ мм) с окном для визуального наблюдения и специального смесительного устройства [3], посредством которого создавался направленный снизу вверх равномерный по сечению поток азотно-кислородной среды с заданной концентрацией кислорода. В центре сосуда размещается образец ($2 \times 15 \times 80$ мм) полиметилметакрилата, жестко соединенный кронштейном с корпусом. Основание сосуда крепилось к столу вибратора с максимальной величиной вектора силы $2 \cdot 10^3$ кг и с рабочим диапазоном частот в синусоидальном режиме от 5 до $4 \cdot 10^3$ Гц. Колебания происходили в вертикальном направлении.

Методика проведения экспериментов состояла в следующем. Образец устанавливался в сосуде и фиксировался в вертикальном положении. Затем подавалась азотно-кислородная смесь (при этом скорость потока в сосуде составляла $\sim 0,08$ м/с) и образец зажигался сверху электро-спиралью. После начала устойчивого горения включался вибратор. При заданной частоте устанавливалась некоторая начальная амплитуда колебаний A . Если заметных изменений пламени не наблюдалось, то плавно увеличивалась амплитуда колебаний до значений, при которых процесс горения прекращается.